

同步电机线性振荡理论

И. Д. 烏魯索夫

科学出版社

73.2536
487

同步电机线性振荡理论

И. Д. 乌鲁索夫 著

黄 焕 堏 譯

XK611/3
(ZK611/33)

科学出版社

1959年4月

И. Д. УРУСОВ
ЛИНЕЙНАЯ ТЕОРИЯ КОЛЕБАНИЙ
СИНХРОННОЙ МАШИНЫ
Издательство Академии наук СССР
1960

内 容 簡 介

本书叙述了同步电机振荡的线性化理論基础，分析了同步电机在强迫振荡和自由振荡下的行为以及自动调节励磁对电机振荡的影响，并討論了异步运行的計算方法。

本书可供从事电机和电力系統方面的研究人員、工程技术人员以及高等学校的教师和学生参考。

同步电机线性振荡理論

И. Д. 乌魯索夫 著

黃 煥 煙 譯

*

科学出版社出版 (北京朝阳门大街 117 号)
北京市书刊出版业营业許可證出字第 061 号

中国科学院印刷厂印刷 新华书店总經售

*

1964 年 6 月第一版 书号：2959 字数：123,000
1964 年 6 月第一次印刷 开本：850×1168 1/32
(京) 0001—6,000 印张：4 13/16

定价：[科七] 0.85 元

序　　言

对于苏共第二十一次代表大会所拟定的电气化总計劃，苏共中央六月全会的決議已經指出了具体方向，这些決議向苏联科学界提出了一系列有关生产过程自动化的重要任务。

本书的目的在于研究同步电机的振蕩理論基础，这种研究能够闡明自动調节励磁对同步电机几个重要运行特性和指标的影响，这些特性和指标是决定同步电机运行的可靠性和设备的經濟性的。按照这一理論所作的計算証明：设备性能的显著改善和电机本身結構的改进的可能性是存在的。在个别情况下，可以簡化某些复杂而不很可靠的結構环节、显著減輕设备重量、改善所产生的电能質量和減少損耗。

本书不拟对本問題作全面的探討，而只是打算把同步电机振蕩問題初步加以系統化和作出科学的概括；因此，难免存在着許多缺点。对这些缺点的指正，作者将很感激。

最后，对 M. П. 科斯琴柯（Костенко）院士給予的許多宝贵意見和指示，B. Ф. 費托罗夫（Федоров）和 P. X. 薩菲烏琳娜（Сафиуллина）工程师在實驗和計算工作中給予巨大的帮助，作者均在此表示深切的感謝。

目 录

序言.....	v
緒論.....	1
第一章 同步电机的基本关系.....	3
§ 1. 分析方法.....	3
§ 2. 坐标变换.....	5
§ 3. 运算电抗和导纳.....	11
§ 4. 通用矢量及其間的关系.....	18
§ 5. 同步电机的轉矩.....	22
§ 6. 功率迭加原理.....	24
§ 7. 轉子运动微分方程式的两种写法.....	28
第二章 考虑人工阻尼时同步电机強迫振蕩的分析.....	31
§ 1. 矢量关系.....	31
§ 2. 在强迫振蕩时 $M(\Delta\theta)$ 的特性.....	39
§ 3. 最大阻尼轉矩的条件.....	41
§ 4. 定子电流的分析.....	43
§ 5. 計算-實驗的研究	46
§ 6. 工业上采用人工阻尼在技术經濟上的合理性.....	55
第三章 考虑人工阻尼时同步电机轉子自由振蕩的分析.....	60
§ 1. 穩定性的判据和过程的定性研究.....	62
§ 2. 按轉矩頻率特性 $M(p)$ 决定多項式 $L(p)$ 的根	65
§ 3. 按給定的振蕩衰減情况决定系数 c_1 和 c_2	70
§ 4. 阻尼品質的物理判据.....	71
§ 5. 振蕩過程的矢量图.....	73
§ 6. 考虑人工阻尼时在振蕩情况下定子电流的分析.....	75
§ 7. 在 $M_{s0} < 0$ (人工稳定区)时的稳定条件.....	77
§ 8. 穩定性的比較計算和特征方程式根的決定.....	81
§ 9. 用频率法研究稳定.....	84

• iii •

07148

§ 10. 按照轉矩特性 $M(p)$ 研究特征多项式的根	85
§ 11. 研究稳定时考虑定子繞組电阻的影响	86
§ 12. 在有調節励磁的情况下自由振蕩过程實驗研究的数据	88
第四章 線性化方程式的应用范围	90
§ 1. 問題的根据和提出	90
§ 2. 轉子振蕩非線性問題的研究	93
§ 3. 角度 θ 的极限偏差和 θ_0 的关系	100
§ 4. 轉子极限逸出角度 θ_m 和动态稳定儲备的关系	105
第五章 振蕩过程发生条件的分析	107
§ 1. 突然三相短路过程中的轉子运动	108
§ 2. 在有線性增长的和恆定的制動轉矩时故障后轉子的振 蕩运动	116
第六章 恒定滑差下异步运行方式的特性	125
§ 1. 准确方法	125
§ 2. 近似計算	128
§ 3. 在小滑差区域內近似地考慮定子繞組电阻的影响	133
§ 4. 启动籠尺寸的选择	136
§ 5. 异步运行中周期性励磁	139
結論	142
附录	144
参考文献	145

緒論

在現代動力系統中，同步電機從作為電能產生者——發電機開始，隨後它在系統中間站作為無功電能產生者——同步補償機，直到它作為同步電動機——生產機械，即電力負荷為止，同步電機的運行方式是多種多樣的。動力系統容量的擴大，發電站到電力負荷之間距離的增長和生產機械工作條件的嚴重化等等，都將使同步電機的運行情況更為複雜，而在許多情況下還將使它的運行情況接近於穩定極限。因此，就須建立新的自動調節和自動控制裝置，以保證系統運行所要求的可靠性和電能質量。

這些裝置的建立雖然顯著地提高穩定儲備系數而有利於動力系統的運行，但也使暫態過程的變化機理更為複雜了，並給它們的物理概念和數學分析帶來許多困難。然而，正如分析和物理試驗所表明：在各種脈衝性質的外來干擾（例如發電機短路、負荷的突然增加或減少）或周期性的外來干擾（如壓縮機或柴油機軸上以諧波脈動的形式出現的轉矩）的作用下，同步電機都將保持一種特有的、眾所周知的特性，它決定了轉子在外來干擾發生後的運動特徵。這種特性就是同步電機轉子和定子磁場軸線之間有著類似彈性的電磁聯繫的存在。這種聯繫使轉子運動具有一種顯明的振蕩性質。實際上利用自動調節或制動而得到的加於轉子的任何作用，通常是無法改變運動的基本特性的。這些作用的影響只表現在把力引入這一過程中，這些力只能在一定程度上改變彈性聯繫系數的數值，或者改變衰減系數的數值，而通常是足以保證裝置運行的可靠性和質量的。

同步電機振蕩問題研究的第一個階段為1900—1930年，在這段時期內，由於對并聯運行感到興趣而建立了同步電機強制振蕩和自由振蕩線性理論的基本原理，並闡明了阻尼繞組作為振蕩阻

尼器的作用[李希特 (Richter), 1936 年]。后一阶段为 1930 年—1950 年, 这时期的特点是双反应理論的发展和这理論扩展到暫态过程的研究。派克 (Park) 和戈列夫 (Горев) 提出的經典著作(派克, 1929、1933 年; 戈列夫, 1950 年) 是一个可用以对同步电机振蕩理論进行更深入研究的基础。

苏联在这些工作的基础上已完成了一系列的理論研究, 从而基本上决定了在強制振蕩下的同步轉矩和异步轉矩 [柳特尔 (Лютер), 1940 年]。这些工作在同步压缩电动机和柴油发电机的計算中已得到基本的应用 [叶列麦耶夫 (Еремеев), 1935 年]。

在上述的研究工作中, 对于振蕩過程的探討都沒有考慮到調节因素, 而这些因素是会大大地改变過程的性質的。

同时, 在現代化的电力拖动和动力系統中都广泛采用了新的自动調节和稳定的技术措施, 这些措施对于振蕩過程以及因而对于装置的运行质量和稳定性都有着决定性的影响。在对現象的特性和存在于振蕩過程与調节作用間的联系缺乏明确認識的情况下, 这些措施的应用和进一步发展将发生困难。

作者把調节因素考慮在内的綫性振蕩理論的基本原理作为自己的研究任务。这一工作只在苏联科学机构和生产单位所积累的大量的理論和实践資料的基础上才能实现。

第一章 同步电机的基本关系

§ 1. 分析方法

派克和戈列夫所提出的同步电机双反应理論的发展及这理論扩展到暫态过程的研究,已为暫态过程推导出一套微分方程式組,这方程式組目前已成为同步电机的解析研究最普遍的方法。如試驗研究所証明的,作为这一方法的基础的一般假定,即励磁特性的綫性化和忽略轉子和定子磁勢的高次諧波,并不給分析的結果带来很大的誤差。

在叙述派克-戈列夫方法之前,对問題的方法論方面稍加說明是适宜的。通常所謂派克-戈列夫方程式是指方程式組中最一般的写法,这种写法是 A. A. 戈列夫首先提出的。在轉子有四个電路的情况下,这方程式組用标么值表示时可以写成(戈列夫, 1950年)

$$\left. \begin{aligned} & (r + px_d)i_d + px_{ad}i_{fd} + px_{adci}i_{cd} + \dot{\theta}x_{qi} + \\ & + \dot{\theta}x_{aqi}i_q + \dot{\theta}x_{aqqi}i_{cq} = u_d, \\ & px_{adi}i_d + (r_{fd} + px_{ffd})i_{fd} + px_{adm}i_{cd} = u_{fd}, \\ & px_{adi}i_d + px_{admi}i_d + (r_{cd} + px_{cd})i_{cd} = 0, \\ & -\dot{\theta}x_{d}i_d - \dot{\theta}x_{adi}i_{fd} - \dot{\theta}x_{adci}i_{cd} + (r + px_q)i_q + \\ & + px_{aqi}i_q + px_{aqqi}i_{cq} = u_q, \\ & px_{aqi}i_q + (r_{fq} + px_{ffq})i_{fq} + px_{aqqm}i_{cq} = u_{fq}, \\ & px_{aqi}i_q + px_{aqqm}i_{fq} + (r_{cq} + px_{cq})i_{cq} = 0, \\ & i_d(x_{qi} + x_{aqi}i_q + x_{aqqi}i_{cq}) - i_q(x_{di} + x_{adi}i_{fd} + \\ & + x_{adci}i_{cd}) = p^2\dot{\theta}T_i + M_m. \end{aligned} \right\} \quad (I, 1)$$

方程式組中最后一个方程式是轉子运动方程式。如众所周知,这方程式組在一般形式下是不能解的,因为其中包含着非綫性

和非齐次的因子。在这方程式組中取变量的小变分的情况下，它可以变成为七个綫性齐次方程式，可以用积分法求解。但是，由于方程式組的主行列式具有高的阶次，实际上求得它的解答仍然是很困难的。

派克(1933年)提出了一种方法和一种方程形式，如果把戈列夫的方程(I, 1)中的轉子电路电流消去，而以电流 i_d 和 i_q 、磁鏈 ψ_d 和 ψ_q 以及称为运算电抗的 $x_d(p)$ 和 $x_q(p)$ 来表示的話，就可把这个方程式組化到与轉子电路数目无关的下列五个方程式：

$$\left. \begin{array}{l} p\psi_d + ri_d - \psi_q p\gamma = u_d, \\ p\psi_q + ri_q + \psi_d p\gamma = u_q, \\ \psi_d - x_d(p)i_d = G_d(p)u_{fd}, \\ \psi_q - x_q(p)i_q = G_q(p)u_{fq}, \\ \psi_q i_d - \psi_d i_q = T_ip^2\dot{\theta} + M_m. \end{array} \right\} \quad (I, 2)$$

上列方程式通常称为派克方程式或派克-戈列夫方程式，因为它们是直接从方程式組 (I, 1) 导出来的。

在不計或近似估計定子繞組的电阻 r 时方程式組 (I, 2) 的主要优点可以显示出来。在这情况下可以得到各个电路电流和轉矩的简单运算关系式，便于研究振蕩过程。

此外，还有可能采用功率迭加原理，以便在解析的方式下将振蕩特性和异步特性进行綜合。

考虑到上述方法发展过程中已显示出的优越性和可能性，后面的分析均将以此法为根据。

由于近来对于将在第三章詳細討論的橫軸勵磁問題以及較詳細地分析阻尼系統的影响問題发生兴趣，使作者不得不在第一章中給出同步电机考慮了轉子縱橫軸(d 和 q 軸)勵磁的主要运算关系的推导，而且对派克首先提出的所謂功率迭加原理也作較詳細的分析。

以下我們只限于討論同步电机經外接阻抗接于无限大功率母綫的运行方式；不过，理論的基本原理和它的准则还可应用于更复杂情况的研究。

应用功率迭加原理来研究振荡的特性，可以显示出原理的普遍性和对异步运行分析的处理，在异步运行时过程的重复性会发生脉动性质的电流和转矩，这对接近同步状态的暂态过程的分析是很有意义的。

§ 2. 坐标变换

使 a 相磁场轴线与实轴重合，并以逆时针方向为角度起算的正方向时，按照复数坐标法[楊柯-突利尼茨基 (Янко-Триницкий)，1951 年] 来讨论磁势和磁链在复数平面上的数值分布是最方便的。其他各相的正相序以及转子转速的正方向也以同样的方向来规定(如图 I, 1 所示)。

在定子相电流为任意瞬时值 i_a , i_b 和 i_c^D 的情况下，定子电流在轴线 (B, j) 上的合成通用矢量将为

$$i' = i_a + \alpha i_b + \alpha^2 i_c^D, \quad (I, 3)$$

式中 $\alpha = e^{j\frac{2\pi}{3}} = e^{j\rho}$ 为旋转算子。

要将某一坐标系统变换为另一坐标系统，通用矢量必须乘以与矢量 $e^{j\alpha}$ 相共轭的单位矢量，这里 α 为新坐标系统对旧系统的偏转角。

因而，要将不动的坐标变换到随着转子旋转的 d 和 q 坐标，相应的通用矢量要乘上复数 e^{-jr} 。

以电流 i 来说，

$$\begin{aligned} i &= i_d + j i_q, \\ i &= i' e^{-jr} = i_a e^{-jr} + i_b e^{-j(r-\rho)} + i_c e^{-j(r+\rho)} = \\ &= i_a \cos \gamma + i_b \cos(\gamma - \rho) + i_c \cos(\gamma + \rho) - \\ &\quad - j[i_a \sin \gamma + i_b \sin(\gamma - \rho) + i_c \sin(\gamma + \rho)]. \end{aligned} \quad \left. \right\} (I, 4)$$

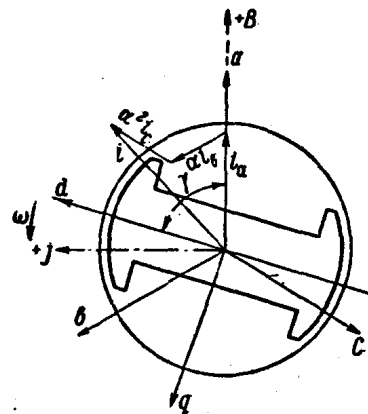


图 I, 1. 同步电机空间矢量图

1) 本章所用的黑体字为电流、电压和磁链以物理单位表示的数值。

各相电流 \mathbf{i}_a , \mathbf{i}_b 和 \mathbf{i}_c 中零序分量的存在并不影响通用矢量的数值, 因为几何和 $\mathbf{i}_0 + \alpha\mathbf{i}_0 + \alpha^2\mathbf{i}_0 = 0$. 按照同样的理由, 电流分量 \mathbf{i}_d 和 \mathbf{i}_q 以及其他通用矢量 (u , ψ) 的分量, 也都同零序分量的存在无关.

轉子电路的磁势产生綜合磁鏈, 对 a 相來說, 綜合磁鏈可写成

$$\begin{aligned}\psi_a &= \psi_{rd} \cos \gamma - \psi_{rq} \sin \gamma + s_i \mathbf{i}_a + s_m (\mathbf{i}_b + \mathbf{i}_c) + \\ &\quad + m_{1d} \mathbf{i}_d \cos \gamma + m_{1q} \mathbf{i}_q \cos \left(\gamma + \frac{\pi}{2} \right)\end{aligned}\quad (I, 5)$$

式中 ψ_{rd} 和 ψ_{rq} 为 d 軸和 q 軸上由轉子电路中的电流所产生的气隙磁鏈; m_{1d} 和 m_{1q} 为 d 軸和 q 軸气隙磁通的互感系数; s_i 为每相漏磁通的自感系数; s_m 为相与相間不經气隙的部分磁鏈的互感系数.

式(I, 5)可以改写如下:

$$\begin{aligned}\psi_a &= \psi_{rd} \cos \gamma - \psi_{rq} \sin \gamma + s_i \mathbf{i}_a + s_m (\mathbf{i}_b + \mathbf{i}_c) + \\ &\quad + \mathbf{i}_a \left[\left(\frac{m_{1d} + m_{1q}}{2} + \frac{m_{1d} - m_{1q}}{2} \right) \cos^2 \gamma + \right. \\ &\quad \left. + \left(\frac{m_{1d} + m_{1q}}{2} - \frac{m_{1d} - m_{1q}}{2} \right) \sin^2 \gamma \right] + \\ &\quad + \mathbf{i}_b \left[\left(\frac{m_{1d} + m_{1q}}{2} + \frac{m_{1d} - m_{1q}}{2} \right) \cos \gamma \cos(\gamma - \rho) + \right. \\ &\quad \left. + \left(\frac{m_{1d} + m_{1q}}{2} - \frac{m_{1d} - m_{1q}}{2} \right) \sin \gamma \sin(\gamma - \rho) \right] + \\ &\quad + \mathbf{i}_c \left[\left(\frac{m_{1d} + m_{1q}}{2} + \frac{m_{1d} - m_{1q}}{2} \right) \cos \gamma \cos(\gamma + \rho) + \right. \\ &\quad \left. + \left(\frac{m_{1d} + m_{1q}}{2} - \frac{m_{1d} - m_{1q}}{2} \right) \sin \gamma \sin(\gamma + \rho) \right] = \\ &= \psi_{rd} \cos \gamma - \psi_{rq} \sin \gamma + s_i \mathbf{i}_a + s_m (\mathbf{i}_b + \mathbf{i}_c) + \\ &\quad + \mathbf{i}_a \left[\frac{m_{1d} + m_{1q}}{2} + \frac{m_{1d} - m_{1q}}{2} \cos 2\gamma \right] + \\ &\quad + \mathbf{i}_b \left[\frac{m_{1d} + m_{1q}}{2} \cos \rho + \frac{m_{1d} - m_{1q}}{2} \cos(2\gamma - \rho) \right] +\end{aligned}$$

$$\begin{aligned}
& + \mathbf{i}_c \left[\frac{m_{1d} + m_{1q}}{2} \cos \rho + \frac{m_{1d} - m_{1q}}{2} \cos(2\gamma + \rho) \right] = \\
& = \psi_{rd} \cos \gamma - \psi_{rq} \sin \gamma + s_l \mathbf{i}_a + s_m (\mathbf{i}_b + \mathbf{i}_c) + \\
& + \mathbf{i}_a \left[\frac{m_{1d} + m_{1q}}{2} + \frac{m_{1d} - m_{1q}}{2} \cos 2\gamma \right] + \\
& + \mathbf{i}_b \left[-\frac{1}{2} \cdot \frac{m_{1d} + m_{1q}}{2} + \frac{m_{1d} - m_{1q}}{2} \cos(2\gamma - \rho) \right] + \\
& + \mathbf{i}_c \left[-\frac{1}{2} \cdot \frac{m_{1d} + m_{1q}}{2} + \frac{m_{1d} - m_{1q}}{2} \cos(2\gamma + \rho) \right] = \\
& = \psi_{rd} \cos \gamma - \psi_{rq} \sin \gamma + s_l \mathbf{i}_a + s_m (\mathbf{i}_b + \mathbf{i}_c) + \\
& + \frac{m_{1d} + m_{1q}}{2} \left(\mathbf{i}_a - \frac{\mathbf{i}_b + \mathbf{i}_c}{2} \right) + \frac{m_{1d} - m_{1q}}{2} \times \\
& \times [\mathbf{i}_a \cos 2\gamma + \mathbf{i}_b (2\gamma - \rho) + \mathbf{i}_c \cos(2\gamma + \rho)] = \\
& = \psi_{rd} \cos \gamma - \psi_{rq} \sin \gamma + s_l \mathbf{i}_a + \\
& + s_m (\mathbf{i}_b + \mathbf{i}_c) - \frac{2}{3} (s_l - s_m) \left(\mathbf{i}_a - \frac{\mathbf{i}_b + \mathbf{i}_c}{2} \right) + \\
& + \left[\frac{m_{1d} + \frac{2}{3}(s_l - s_m)}{2} + \frac{m_{1q} + \frac{2}{3}(s_l - s_m)}{2} \right] \times \\
& \times \left(\mathbf{i}_a - \frac{\mathbf{i}_b + \mathbf{i}_c}{2} \right) + \\
& + \left[\frac{m_{1d} + \frac{2}{3}(s_l - s_m)}{2} - \frac{m_{1q} + \frac{2}{3}(s_l - s_m)}{2} \right] \times \\
& \times [\mathbf{i}_a \cos 2\gamma + \mathbf{i}_b \cos(2\gamma - \rho) + \mathbf{i}_c \cos(2\gamma + \rho)] = \\
& = \psi_{rd} \cos \gamma - \psi_{rq} \sin \gamma + \frac{s_l + 2s_m}{3} (\mathbf{i}_a + \mathbf{i}_b + \mathbf{i}_c) + \\
& + \left[\frac{m_{1d} + \frac{2}{3}(s_l - s_m)}{2} - \frac{m_{1q} + \frac{2}{3}(s_l - s_m)}{2} \right] \times \\
& \times \left(\mathbf{i}_a - \frac{\mathbf{i}_b + \mathbf{i}_c}{2} \right)
\end{aligned}$$

$$\begin{aligned}
& + \left[\frac{m_{1d} + \frac{2}{3}(s_l - s_m)}{2} - \frac{m_{1q} + \frac{2}{3}(s_l - s_m)}{2} \right] \times \\
& \times [\mathbf{i}_a \cos 2\gamma + \mathbf{i}_b \cos(2\gamma - \rho) + \mathbf{i}_c \cos(2\gamma + \rho)]. \tag{I, 5a}
\end{aligned}$$

式(I, 5a)两边除以空载磁链 ψ_H ,

$$\begin{aligned}
\frac{\psi_a}{\psi_H} &= \frac{\psi_{rd}}{\psi_H} \cos \gamma - \frac{\psi_{rq}}{\psi_H} \sin \gamma + \frac{(s_l + 2s_m)\mathbf{i}_H}{3\psi_H} \left(\frac{\mathbf{i}_a + \mathbf{i}_b + \mathbf{i}_c}{\mathbf{i}_H} \right) + \\
& + \frac{\left[\frac{3}{2} m_{1d} + s_l - s_m \right] \mathbf{i}_H - \left[\frac{3}{2} m_{1q} + s_l - s_m \right] \mathbf{i}_H}{3\psi_H} \times \\
& \times \left(\frac{\mathbf{i}_a - \frac{\mathbf{i}_b + \mathbf{i}_c}{2\mathbf{i}_H}}{\mathbf{i}_H} \right) + \\
& + \frac{\left[\frac{3}{2} m_{1d} + s_l - s_m \right] \mathbf{i}_H - \left[\frac{3}{2} m_{1q} + s_l - s_m \right] \mathbf{i}_H}{3\psi_H} \times \\
& \times \left[\frac{\mathbf{i}_a}{\mathbf{i}_H} \cos 2\gamma + \frac{\mathbf{i}_b}{\mathbf{i}_H} \cos(2\gamma - \rho) + \frac{\mathbf{i}_c}{\mathbf{i}_H} \cos(2\gamma + \rho) \right]. \tag{I, 6}
\end{aligned}$$

令

$$\frac{\psi_a}{\psi_H} = \psi_a, \quad \frac{\psi_{rd}}{\psi_H} = \psi_{rd}, \quad \frac{\psi_{rq}}{\psi_H} = \psi_{rq} \tag{I, 7}$$

是以空载磁链的分数表示的磁链;

$$\frac{\mathbf{i}_a}{\mathbf{i}_H} = i_a, \quad \frac{\mathbf{i}_b}{\mathbf{i}_H} = i_b, \quad \frac{\mathbf{i}_c}{\mathbf{i}_H} = i_c \tag{I, 7a}$$

是相电流(以额定电流分数表示的);

$$\frac{(s_l + 2s_m)\mathbf{i}_H}{\psi_H} = x_0 \tag{I, 8}$$

是零序电抗(标么值);

$$\frac{\left(\frac{3}{2} m_{1d} + s_l - s_m \right) \mathbf{i}_H}{\psi_H} = x_d \tag{I, 8a}$$

是 d 軸同步电抗(标么值);

$$\frac{\left(\frac{3}{2}m_{1q} + s_l - s_m\right)i_h}{\psi_n} = x_q \quad (I, 86)$$

是 q 軸同步电抗(标么值)。

这样,从 (I, 6) 式可得磁鏈(标么值)方程式:

$$\begin{aligned} \psi_a &= \psi_{rd} \cos \gamma - \psi_{rq} \sin \gamma + x_0 \frac{i_a + i_b + i_c}{3} + \\ &+ \frac{x_d + x_q}{3} \left(i_a - \frac{i_b + i_c}{2} \right) + \frac{x_d - x_q}{3} \times \\ &\times [i_a \cos 2\gamma + i_b \cos (2\gamma - \rho) + i_c \cos (2\gamma + \rho)]. \quad (I, 9) \end{aligned}$$

用类似的变换方法可得磁鏈 ψ_b 和 ψ_c :

$$\begin{aligned} \psi_b &= \psi_{rd} \cos (\gamma - \rho) - \psi_{rq} \sin (\gamma - \rho) + x_0 \frac{i_a + i_b + i_c}{3} + \\ &+ \frac{x_d + x_q}{3} \left(i_b - \frac{i_a + i_c}{2} \right) + \frac{x_d - x_q}{3} \times \\ &\times [i_a \cos (2\gamma - \rho) + i_b \cos (2\gamma + \rho) + i_c \cos 2\gamma], \quad (I, 10) \end{aligned}$$

$$\begin{aligned} \psi_c &= \psi_{rd} \cos (\gamma + \rho) - \psi_{rq} \sin (\gamma + \rho) + x_0 \frac{i_a + i_b + i_c}{3} + \\ &+ \frac{x_d + x_q}{3} \left(i_c - \frac{i_a + i_b}{2} \right) + \frac{x_d - x_q}{3} \times \\ &\times [i_a \cos (2\gamma + \rho) + i_b \cos 2\gamma + i_c \cos (2\gamma - \rho)]. \quad (I, 11) \end{aligned}$$

引用由下列简单线性变换所得的新变量:

$$\begin{aligned} i_d &= \frac{2}{3} \operatorname{Re}(i' e^{-j\gamma}) = \frac{2}{3} [i_a \cos \gamma + \\ &+ i_b \cos (\gamma - \rho) + i_c \cos (\gamma + \rho)], \quad (I, 12) \end{aligned}$$

$$\begin{aligned} i_q &= \frac{2}{3} \operatorname{Im}(i' e^{-j\gamma}) = -\frac{2}{3} [i_a \sin \gamma + \\ &+ i_b \sin (\gamma - \rho) + i_c \sin (\gamma + \rho)], \quad (I, 13) \end{aligned}$$

$$i_0 = \frac{1}{3} (i_a + i_b + i_c), \quad (I, 14)$$

同理，

$$u_d = \frac{2}{3}[u_a \cos \gamma + u_b \cos(\gamma - \rho) + u_c \cos(\gamma + \rho)], \quad (I, 15)$$

$$u_q = -\frac{2}{3}[u_a \sin \gamma + u_b \sin(\gamma - \rho) + u_c \sin(\gamma + \rho)], \quad (I, 16)$$

$$u_0 = \frac{1}{3}(u_a + u_b + u_c) \quad (I, 17)$$

和

$$\psi_d = \frac{2}{3}[\psi_a \cos \gamma + \psi_b \cos(\gamma - \rho) + \psi_c \cos(\gamma + \rho)], \quad (I, 18)$$

$$\psi_q = -\frac{2}{3}[\psi_a \sin \gamma + \psi_b \sin(\gamma - \rho) + \psi_c \sin(\gamma + \rho)], \quad (I, 19)$$

$$\psi_0 = \frac{1}{3}(\psi_a + \psi_b + \psi_c). \quad (I, 20)$$

从坐标 $d, q, 0$ 到坐标 a, b, c 的逆变换可以按由上述关系求得的下列公式来进行，

$$i_a = i_d \cos \gamma - i_q \sin \gamma + i_0, \quad (I, 21)$$

$$i_b = i_d \cos(\gamma - \rho) - i_q \sin(\gamma - \rho) + i_0, \quad (I, 22)$$

$$i_c = i_d \cos(\gamma + \rho) - i_q \sin(\gamma + \rho) + i_0, \quad (I, 23)$$

$$u_a = u_d \cos \gamma - u_q \sin \gamma + u_0, \quad (I, 24)$$

$$u_b = u_d \cos(\gamma - \rho) - u_q \sin(\gamma - \rho) + u_0, \quad (I, 25)$$

$$u_c = u_d \cos(\gamma + \rho) - u_q \sin(\gamma + \rho) + u_0, \quad (I, 26)$$

$$\psi_a = \psi_d \cos \gamma - \psi_q \sin \gamma + \psi_0, \quad (I, 27)$$

$$\psi_b = \psi_d \cos(\gamma - \rho) - \psi_q \sin(\gamma - \rho) + \psi_0, \quad (I, 28)$$

$$\psi_c = \psi_d \cos(\gamma + \rho) - \psi_q \sin(\gamma + \rho) + \psi_0. \quad (I, 29)$$

将公式 (I, 9), (I, 10) 和 (I, 11) 所得的每相磁链表示式代入公式 (I, 18), (I, 19) 和 (I, 20), 经三角运算后即得

$$\psi_d = \psi_{rd} + i_d x_d, \quad (I, 30)$$

$$\psi_q = \psi_{rq} + i_q x_q, \quad (I, 31)$$

$$\psi_0 = i_0 x_0. \quad (I, 32)$$

§ 3. 运算电抗和导纳

在同步电机理論中，运算电抗和运算导納的概念具有特別重要的意义和实际的应用。装置在 d 或 q 坐标軸上的电路中所进行的复杂电磁过程的特征，可以用一个变量表达出来。

直接从三繞組变压器的綫路图来导出 d 軸和 q 軸上运算电抗和运算导納的表示式和物理解释，是最具有普遍性的，而且物理意义也最为明显。

下面对轉子上有着两个电路的 d 軸关系来进行推导。在一般情况下，在轉子 q 軸上也有两个电路，其关系可以用完全类似的方法导求出来。

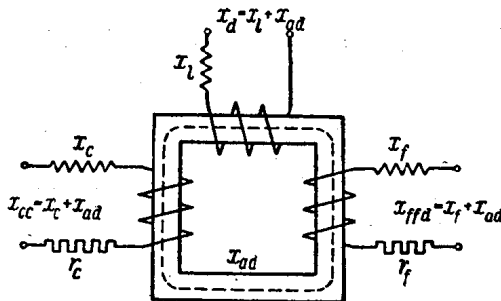


图 I, 2. 同步电机 d 軸电路的等值电路

按前所述，在 d 軸上定子磁鏈(图 I, 2)为

$$\phi_d = i_d x_d + i_f x_{ad} + i_{cd} x_{ad}. \quad (I, 33)$$

轉子电路的电势方程式可写为

$$e_{fd} = p i_d x_{ad} + i_f (r_f + p x_{ffd}) + p i_{cd} x_{ad}, \quad (I, 34)$$

$$0 = p i_d x_{ad} + p i_f x_{ad} + i_{cd} (r_c + p x_{cc}). \quad (I, 35)$$

这里，下角标 f 和 cd 分別表示属于励磁电路和阻尼电路的电流、电压和阻抗。以标么值表示的互感系数 x_{ad} 对所有电路均取为一样，这就是通常在实际問題中所用的假設。 p 为赫維賽特运算是子。

从方程式 (I, 33), (I, 34) 和 (I, 35) 可得